

# Методические материалы: Разностные схемы для ОДУ колебаний

С. Лемешевский<sup>1</sup>

Институт математики НАН Беларуси<sup>1</sup>

Mar 13, 2017

- 1 Простейшая модель колебательного процесса
- 2 Программная реализация
- 3 Верификация реализации алгоритма
- 4 Проведение вычислительного эксперимента
- 5 Анализ конечно-разностной схемы
- 6 Обобщения: затухание, нелинейные струны и внешние воздействия

# Простейшая модель колебательного процесса

$$u'' + \omega^2 u = 0, \quad t \in (0, T], \quad (1)$$

$$u(0) = U, \quad u'(0) = 0. \quad (2)$$

Точное решение

$$u(t) = U \cos \omega t, \quad (3)$$

описывает колебания с постоянной амплитудой  $U$  и угловой частотой  $\omega$ . Соответствующий период колебаний равен  $P = 2\pi/\omega$ .

Вводим равномерную сетку по переменной  $t$  с шагом  $\tau$ :

$$\omega_\tau = \{t_n = n\tau, \quad n = 0, 1, \dots, N\}.$$

Простейшая разностная схема

$$\frac{y^{n+1} - 2y^n + y^{n-1}}{\tau^2} = -\omega^2 y^n. \quad (4)$$

Для формулировки вычислительного алгоритма, предположим, что мы уже знаем значение  $y^{n-1}$  и  $y^n$ . Тогда из мы можем выразить неизвестное значение  $y^{n+1}$ :

$$y^{n+1} = 2y^n - y^{n-1} - \tau^2 \omega^2 y^n. \quad (5)$$

Вводим равномерную сетку по переменной  $t$  с шагом  $\tau$ :

$$\omega_\tau = \{t_n = n\tau, \quad n = 0, 1, \dots, N\}.$$

Простейшая разностная схема

$$\frac{y^{n+1} - 2y^n + y^{n-1}}{\tau^2} = -\omega^2 y^n. \quad (4)$$

Для формулировки вычислительного алгоритма, предположим, что мы уже знаем значение  $y^{n-1}$  и  $y^n$ . Тогда из мы можем выразить неизвестное значение  $y^{n+1}$ :

$$y^{n+1} = 2y^n - y^{n-1} - \tau^2 \omega^2 y^n. \quad (5)$$

Вводим равномерную сетку по переменной  $t$  с шагом  $\tau$ :

$$\omega_\tau = \{t_n = n\tau, \quad n = 0, 1, \dots, N\}.$$

Простейшая разностная схема

$$\frac{y^{n+1} - 2y^n + y^{n-1}}{\tau^2} = -\omega^2 y^n. \quad (4)$$

Для формулировки вычислительного алгоритма, предположим, что мы уже знаем значение  $y^{n-1}$  и  $y^n$ . Тогда из мы можем выразить неизвестное значение  $y^{n+1}$ :

$$y^{n+1} = 2y^n - y^{n-1} - \tau^2 \omega^2 y^n. \quad (5)$$

Вводим равномерную сетку по переменной  $t$  с шагом  $\tau$ :

$$\omega_\tau = \{t_n = n\tau, \quad n = 0, 1, \dots, N\}.$$

Простейшая разностная схема

$$\frac{y^{n+1} - 2y^n + y^{n-1}}{\tau^2} = -\omega^2 y^n. \quad (4)$$

Для формулировки вычислительного алгоритма, предположим, что мы уже знаем значение  $y^{n-1}$  и  $y^n$ . Тогда из мы можем выразить неизвестное значение  $y^{n+1}$ :

$$y^{n+1} = 2y^n - y^{n-1} - \tau^2 \omega^2 y^n. \quad (5)$$

# Вычисление решения на первом шаге

Очевидно, что для вычисления  $y^1$  необходимо знать неопределенное значение  $y^{-1}$  при  $t = -\tau$ .

Аппроксимируем начальное условие  $u'(0) = 0$  центральной разностной производной:

$$\frac{y^1 - y^{-1}}{2\tau} = 0 \Rightarrow y^1 = y^{-1}$$

Подставляя последнее в разностную схему при  $n = 0$ , получим

$$y^1 = y^0 - \frac{1}{2}\tau^2\omega^2 y^0. \quad (6)$$



# Вычислительный алгоритм

- ❶  $y^0 = U$
- ❷ вычисляем  $y^1$
- ❸ для  $n = 1, 2, \dots$ ,
  - ❶ вычисляем  $y^n$

Более строго вычислительный алгоритм напомним на Python:

```
t = linspace(0, T, N+1) # \T2A\cyrs \T2A\cyre \T2A\cyrt \T2A\cyrk \T2
tau = t[1] - t[0]       # \T2A\cyrp \T2A\cyro \T2A\cyrs \T2A\cyrt \T2
u = zeros(N+1)          # \T2A\cyrr \T2A\cyre \T2A\cyrsh \T2A\cyre \T2

u[0] = U
u[1] = u[0] - 0.5*tau**2*omega**2*u[0]
for n in range(1, N):
    u[n+1] = 2*u[n] - u[n-1] - tau**2*omega**2*u[n]
```

# Безындексные обозначения

Разностную схему можно записать, используя безындексные обозначения.

*Левая и правая разностные производные*

$$y_{\bar{t}} \equiv \frac{y^n - y^{n-1}}{\tau}, \quad y_t \equiv \frac{y^{n+1} - y^n}{\tau}.$$

*Вторая разностная производная*

$$y_{\bar{t}t} = \frac{y_t - y_{\bar{t}}}{\tau} = \frac{y^{n+1} - 2y^n + y^{n-1}}{\tau^2}.$$

*Центральная разностная производная:*

$$y_{\bar{t}}^* = \frac{y^{n+1} - y^{n-1}}{2\tau}.$$

- 1 Простейшая модель колебательного процесса
- 2 Программная реализация
- 3 Верификация реализации алгоритма
- 4 Проведение вычислительного эксперимента
- 5 Анализ конечно-разностной схемы
- 6 Обобщения: затухание, нелинейные струны и внешние воздействия

# Функция-решатель (Солвер)

```
def solver(U, omega, tau, T):  
    """  
    |T2A\CYRR |T2A\cyre |T2A\cyrsh |T2A\cyra |T2A\cyre |T2A\cyrt |T2A\  
    u'' + omega**2*u = 0 |T2A\cyrd |T2A\cyrl |T2A\cyrya t |T2A\cyri |  
    |T2A\cyrk |T2A\cyro |T2A\cyrn |T2A\cyre |T2A\cyrch |T2A\cyrn |T2A\  
    """  
    tau = float(tau)  
    Nt = int(round(T/tau))  
    u = np.zeros(Nt+1)  
    t = np.linspace(0, Nt*tau, Nt+1)  
  
    u[0] = U  
    u[1] = u[0] - 0.5*tau**2*omega**2*u[0]  
    for n in range(1, Nt):  
        u[n+1] = 2*u[n] - u[n-1] - tau**2*omega**2*u[n]  
    return u, t
```

```
def visualize(u, t, U, omega):  
    plt.plot(t, u, 'r--o')  
    t_fine = np.linspace(0, t[-1], 1001) # \T2A\cyrm \T2A\cyre \T2A\c  
    u_e = u_exact(t_fine, U, omega)  
    plt.hold('on')  
    plt.plot(t_fine, u_e, 'b-')  
    plt.legend([u'\T2A\cyrp \T2A\cyrr \T2A\cyri \T2A\cyrb \T2A\cyr1 \T  
    plt.xlabel('$t$')  
    plt.ylabel('$u$')  
    tau = t[1] - t[0]  
    plt.title('$\\tau = $ %g' % tau)  
    umin = 1.2*u.min(); umax = -umin  
    plt.axis([t[0], t[-1], umin, umax])  
    plt.savefig('tmp1.png'); plt.savefig('tmp1.pdf')
```

# Основная программа

```
U = 1
omega = 2*pi
tau = 0.05
num_periods = 5
P = 2*np.pi/tau      # |T2A\cyro |T2A\cyrd |T2A\cyri |T2A\cyrn |T2A\cy
T = P*num_periods
u, t = solver(U, omega, tau, T)
visualize(u, t, U, omega, tau)
```

# Интерфейс пользователя: командная строка

```
import argparse
parser = argparse.ArgumentParser()
parser.add_argument('--U', type=float, default=1.0)
parser.add_argument('--omega', type=float, default=2*np.pi)
parser.add_argument('--tau', type=float, default=0.05)
parser.add_argument('--num_periods', type=int, default=5)
a = parser.parse_args()
U, omega, tau, num_periods = a.U, a.omega, a.tau, a.num_periods
```

Стандартный вызов основной программы выглядит следующим образом:

```
Terminal> python vib_undamped.py --num_periods 20 --tau 0.1
```

- 1 Простейшая модель колебательного процесса
- 2 Программная реализация
- 3 Верификация реализации алгоритма
- 4 Проведение вычислительного эксперимента
- 5 Анализ конечно-разностной схемы
- 6 Обобщения: затухание, нелинейные струны и внешние воздействия



# Простейшие способы тестирования

- Тестирование на простейших решениях:  $u = \text{const}$  или  $u = ct + d$  не применимы здесь (без правой части в уравнении).
- Ручные вычисления:

вычислить значений  $y^1, y^2$  и  $y^3$  и сравнить с результатом программы.

```
def test_three_steps():
    from math import pi
    U = 1; omega = 2*pi; tau = 0.1; T = 1
    u_by_hand = np.array([
        1.0000000000000000,
        0.802607911978213,
        0.288358920740053])
    u, t = solver(U, omega, tau, T)
    diff = np.abs(u_by_hand - u[:3]).max()
    tol = 1E-14
    assert diff < tol
```

Чтобы оценить скорость сходимости для рассматриваемой задачи, нужно выполнить

- провести  $m$  расчетов, уменьшая на каждом из них шаг в два раза:  $\tau_k = 2^{-k}\tau_0$ ,  $k = 0, 1, \dots, m - 1$ ,
- вычислить  $L_2$  -норму погрешности для каждого расчета
$$\varepsilon_k = \sqrt{\sum_{n=0}^{N-1} (y^n - u_e(t_n))^2} \tau_k,$$
- оценить скорость сходимости на основе двух последовательных экспериментов  $(\tau_{k-1}, \varepsilon_{k-1})$  и  $(\tau_k, \varepsilon_k)$

## Программная реализация

```
def converge_rates(m, solver_function, num_periods=8):
    """
    |T2A|CYRV |T2A|cyro |T2A|cyrz |T2A|cyrv |T2A|cyrr |T2A|cyra |T2A|c
    |T2A|cyrp |T2A|cyro |T2A|cyr1 |T2A|cyru |T2A|cyrch |T2A|cyre |T2A|
    |T2A|cyrsh |T2A|cyra |T2A|cyrq |T2A|cyrp |T2A|cyro |T2A|cyrv |T2
    solver_function(U, omega, tau, T) |T2A|cyrr |T2A|cyre |T2A|cyrsh |
    |T2A|cyrd |T2A|cyr1 |T2A|cyrya |T2A|cyrk |T2A|cyro |T2A|cyrt |T2A
    num_periods |T2A|cyrp |T2A|cyre |T2A|cyrr |T2A|cyri |T2A|cyro |T2A
    """
    from math import pi
    omega = 0.35; U = 0.3 # |T2A|cyrp |T2A|cyrr |T2A|cyro |T2A|c
    P = 2*pi/omega # |T2A|cyrp |T2A|cyre |T2A|cyrr |T2A|c
    tau = P/30 # 30 |T2A|cyrsh |T2A|cyra |T2A|cyrq |T2A|c
    T = P*num_periods

    tau_values = []
    E_values = []
    for i in range(m):
        u, t = solver_function(U, omega, tau, T)
        u_e = u_exact(t, U, omega)
        E = np.sqrt(tau*np.sum((u_e-u)**2))
        tau_values.append(tau)
        E_values.append(E)
        tau = tau/2

    r = [np.log(E_values[i-1]/E_values[i])/
        np.log(tau_values[i-1]/tau_values[i])]
```

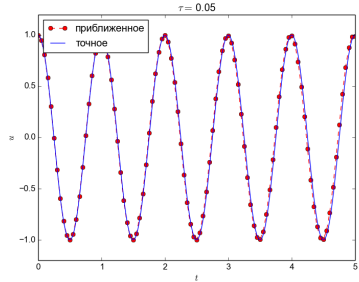
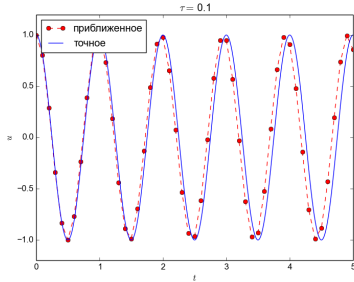
# Юнит-тест для скорости сходимости

Используем последнего элемента `r[-1]` в юнит-тесте:

```
def test_convergence_rates():  
    r = convergence_rates(m=5, solver_function=solver, num_periods=8)  
    tol = 0.1  
    assert abs(r[-1] - 2.0) < tol
```

- 1 Простейшая модель колебательного процесса
- 2 Программная реализация
- 3 Верификация реализации алгоритма
- 4 Проведение вычислительного эксперимента**
- 5 Анализ конечно-разностной схемы
- 6 Обобщения: затухание, нелинейные струны и внешние воздействия

# Влияние шага аппроксимации при моделировании



- Похоже, что численное решение корректно передает амплитуду колебаний
- Наблюдается погрешность при расчете угловой частоты, которая уменьшается при уменьшении шага.
- Суммарная погрешность угловой частоты увеличивается со временем.

# Использование изменяющихся графиков

- При моделировании на длительном временном отрезке нам нужно строить график "следующий" за решением.
- Пакет **SciTools** содержит удобный инструмент для этого: `MovingPlotWindow`.

Пример вызова:

```
Terminal> python vib_undamped.py --dt 0.05 --num_periods 40
```

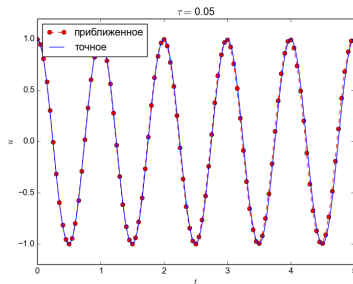
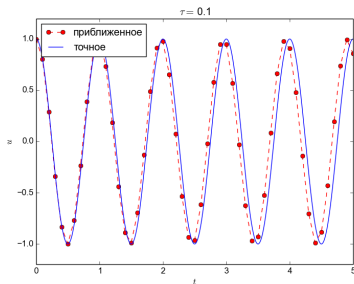
Видео

- 1 Простейшая модель колебательного процесса
- 2 Программная реализация
- 3 Верификация реализации алгоритма
- 4 Проведение вычислительного эксперимента
- 5 Анализ конечно-разностной схемы**
- 6 Обобщения: затухание, нелинейные струны и внешние воздействия



# Анализ конечно-разностной схемы

Можем ли понять появление ошибки в частоте?



# Можно получить точное решение дискретной задачи

- Мы имеем линейное однородное разностное уравнение относительно  $y^n$
- Решение этого уравнения имеет вид  $y^n = Uq^n$ , где  $q$  — неизвестное число
- Здесь:  $u_e(t) = U \cos \omega t \sim U \exp(i\omega t) = U * e^{i\omega \tau n}$
- Прием для упрощения алгебраических выкладок:  $y^n = Uq^n$  с  $q = \exp(i\tilde{\omega}\tau)$ , затем находим  $\tilde{\omega}$
- $\tilde{\omega}$  — неизвестная численная частота (проще в вычислении, чем  $q$ )
- $\omega - \tilde{\omega}$  — погрешность частоты
- Используем действительную часть как физически обоснованную часть комплексного выражения

## Вывод решения конечно-разностной схемы

$$y^n = Uq^n = U \exp(\tilde{\omega}\tau n) = U \exp i\tilde{\omega}t = U \cos(\tilde{\omega}t) + iU \sin(\tilde{\omega}t).$$

$$\begin{aligned} y_{tt}^n &= \frac{y^{n+1} - 2y^n + y^{n-1}}{\tau^2} \\ &= U \frac{q^{n+1} - 2q^n + q^{n-1}}{\tau^2} \\ &= \frac{U}{\tau^2} \left( e^{i(\tilde{\omega}t+\tau)} - 2e^{i(\tilde{\omega}t)} + e^{i(\tilde{\omega}t-\tau)} \right) \\ &= Ue^{i(\tilde{\omega}t)} \frac{1}{\tau^2} (e^{i\tau} + e^{-i\tau} - 2) \\ &= Ue^{i(\tilde{\omega}t)} \frac{2}{\tau^2} (\cos(\tilde{\omega}\tau) - 1) \\ &= -Ue^{i(\tilde{\omega}t)} \frac{4}{\tau^2} \sin^2 \left( \frac{\tilde{\omega}\tau}{2} \right) \end{aligned}$$

## Решение относительно численной частоты

Подставляя  $y^n = Ue^{\tilde{\omega}\tau n}$  в разностную схему, получим

$$-Ue^{i(\tilde{\omega}t)} \frac{4}{\tau^2} \sin^2 \left( \frac{\tilde{\omega}\tau}{2} \right) + \omega^2 Ue^{i(\tilde{\omega}t)} = 0.$$

Разделив последнее выражение на  $Ue^{i(\tilde{\omega}t)}$ , получим

$$\frac{4}{\tau^2} \sin^2 \left( \frac{\tilde{\omega}\tau}{2} \right) = \omega^2.$$

Отсюда

$$\tilde{\omega} = \pm \frac{2}{\tau} \arcsin \left( \frac{\omega\tau}{2} \right). \quad (7)$$

- Численная частота  $\tilde{\omega}$  никогда не равна точной  $\omega$ .
- Насколько хороша аппроксимация?

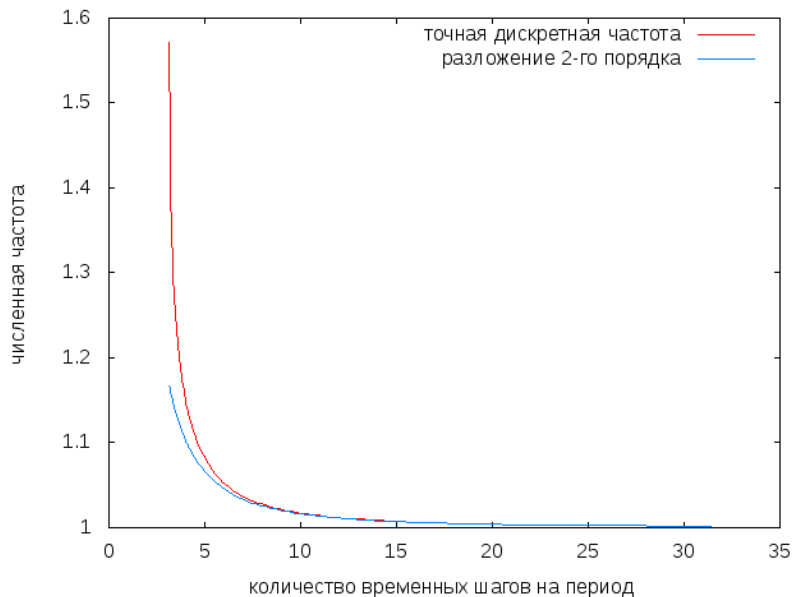
Разложение в ряд Тейлора по  $\tau$  дает

```
>>> from sympy import *
>>> tau, omega = symbols('tau omega')
>>> omega_tilde_e = 2/tau*asin(omega*tau/2)
>>> omega_tilde_series = w_tilde_e.series(tau, 0, 4)
>>> print omega_tilde_series
>>> omega + tau**2*omega**3/24 + O(tau**4)
```

$$\tilde{\omega} = \omega \left( 1 + \frac{1}{24} \omega^2 \tau^2 \right) + \mathcal{O}(\tau^4). \quad (8)$$

Слишком большая численная частота дает слишком быстро колеблющийся профиль.

# График погрешности частоты



$$y^n = U \cos(\tilde{\omega} \tau n), \quad \tilde{\omega} = \frac{2}{\tau} \arcsin\left(\frac{\omega \tau}{2}\right). \quad (9)$$

Сеточная функция погрешности:

$$\begin{aligned} e^n &= u_e(t_n) - u^n = U \cos(\omega \tau n) - U \cos(\tilde{\omega} \tau n) \\ &= -2U \sin\left(\frac{t}{2}(\omega - \tilde{\omega})\right) \sin\left(\frac{t}{2}(\omega + \tilde{\omega})\right). \end{aligned} \quad (10)$$

Построенная сеточная функция погрешности идеальна для целей тестирования.

Можно легко показать *сходимость*:

$$e^n \rightarrow 0 \text{ при } n \rightarrow 0,$$

т.к.

$$\lim_{\tau \rightarrow 0} = \lim_{\tau \rightarrow 0} \frac{2}{\tau} \arcsin \left( \frac{\omega \tau}{2} \right) = \omega.$$

Это можно проверить, например, с помощью sympy:

```
>>> import sympy as sym
>>> tau, omega = sym.symbols('tau omega')
>>> sym.limit((2/tau)*sym.asin(omega*tau/2), tau, 0, dir='+')
omega
```



Наблюдения:

- Численное решение имеет правильную постоянную амплитуду, но ошибку в частоте.
- Постоянная амплитуда будет, если  $\arcsin(\omega_T/2)$  будет действительным  $\Rightarrow |\omega_T/2| < 1$
- При  $|\omega_T/2| > 1$  значения  $\arcsin(\omega_T/2)$  и, следовательно,  $\tilde{\omega}$  являются комплексными:

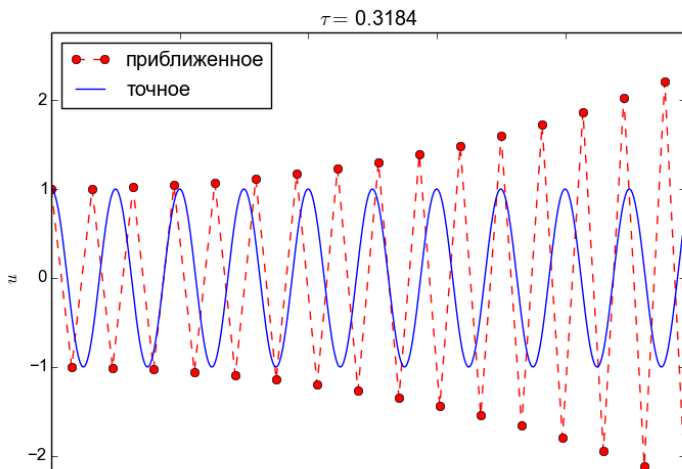
Какие последствия того, что  $\tilde{\omega}$  комплексное?

- Пусть  $\tilde{\omega} = \tilde{\omega}_r + i\tilde{\omega}_i$ .
- Так как  $\arcsin(x)$  имеет отрицательную мнимую часть при  $x > 1$ ,  $\tilde{\omega}_i < 0$ , то  $e^{i\tilde{\omega}t} = e^{-\tilde{\omega}_i t} e^{i\tilde{\omega}_r t}$ , что означает экспоненциальный рост со временем, так как  $e^{-\tilde{\omega}_i t}$  при  $\tilde{\omega}_i < 0$  имеет положительную степень.
- Это и есть *неустойчивость*.

# Условие устойчивости

$$\frac{\omega\tau}{2} \leq 1 \Rightarrow \tau \leq \frac{2}{\omega}. \quad (11)$$

Возьмем  $\tau = \pi^{-1} + 9.01 \cdot 10^{-5}$ .



Из анализа точности и устойчивости можно сделать некоторые выводы:

- ❶ Ключевой параметр в формулах  $p = \omega\tau$ . Пусть период колебаний  $P = 2\pi/\omega$ , количество временных шагов на период  $N_P = P/\tau$ . Тогда  $p = \omega\tau = 2\pi N_P$ , т.е. основным параметром является количество временных шагов на период. Наименьшее возможное  $N_P = 2$ , т.е.  $p \in (0, \pi]$ .
- ❷ Если  $p \leq 2$ , то амплитуда численного решения постоянна.
- ❸ Отношение численной угловой частоты к точной есть  $\tilde{\omega}/\omega \approx 1 + \frac{p^2}{24}$ . Погрешность  $\frac{p^2}{24}$  приводит к смещенным пикам численного решения, и это погрешность расположения пиков растет линейно со временем.

- 1 Простейшая модель колебательного процесса
- 2 Программная реализация
- 3 Верификация реализации алгоритма
- 4 Проведение вычислительного эксперимента
- 5 Анализ конечно-разностной схемы
- 6 **Обобщения: затухание, нелинейные струны и внешние воздействия**

# Обобщения: затухание, нелинейные струны и внешние воздействия

$$mu'' + f(u') + s(u) = F(t), \quad t \in (0, T], \quad u(0) = U, \quad u'(0) = V. \quad (12)$$

Здесь  $m$ ,  $f(u')$ ,  $s(u)$ ,  $F(t)$ ,  $U$ ,  $V$  и  $T$  — входные параметры.

Типичные варианты выбора  $f$  и  $s$ :

- линейное затухание  $f(u') = bu'$  или
- квадратичное затухание  $f(u') = bu'|u'|$
- линейные пружины:  $s(u) = cu$
- нелинейные пружины  $s(u) \sim \sin(u)$  (маятник)

## Разностная схема для линейного затухания

$$my_{tt}^n + by_t^n + s(y^n) = F^n, \quad n = 1, 2, \dots, N-1, \quad (13)$$

$$y^0 = U, \quad y_t^0 = \frac{y^1 - y^{-1}}{2\tau} = V. \quad (14)$$

В индексной форме:

$$m \frac{y^{n+1} - 2y^n + y^{n-1}}{\tau^2} + b \frac{y^{n+1} - y^{n-1}}{2\tau} + s(y^n) = F^n, \quad n = 1, 2, \dots, N-1, \quad (15)$$

$$y^0 = U, \quad \frac{y^1 - y^{-1}}{2\tau} = V. \quad (16)$$

$$y^{n+1} = \frac{2my^n + (0.5\tau - m)y^{n-1} + \tau^2(F^n - s(y^n))}{m + 0.5b\tau}, \quad n = 1, 2, \dots, N-1. \quad (17)$$

При  $n = 0$  с учетом второго начального условия имеем

$$y^1 = y^0 + \tau V + \frac{\tau^2}{2m}(F^0 - s(y^0) - bV). \quad (18)$$

# Разностная схема для квадратичного затухания

- Пусть  $f(u') = bu'|u'|$ .
- Аппроксимацию  $f(u')$  выполним, основываясь на использовании геометрического среднего:

$$(w^2)^n \approx w^{n-1/2} w^{n+1/2},$$

При  $w = u'$  имеем

$$(u'|u'|)^n \approx u'(t_{n+1/2})|u'(t_{n-1/2})|.$$

Для аппроксимации  $u'$  в точках  $t_{n\pm 1/2}$  воспользуемся направленными разностями, которые имеют второй порядок аппроксимации относительно полуцелых точек:

$$u'(t_{n+1/2}) \approx \frac{y^{n+1} - y^n}{\tau} = y_t^n, \quad u'(t_{n-1/2}) \approx \frac{y^n - y^{n-1}}{\tau} = y_t^n.$$



Таким образом, получим разностное уравнение

$$my_{\bar{t}t}^n + by_t^n y_{\bar{t}}^n + s(y^n) = F^n, \quad n = 1, 2, \dots, N-1, \quad (19)$$

которая является линейной относительно  $y^{n+1}$ :

$$y^{n+1} = \frac{2my^n - my^{n-1} + by^n|y^n - y^{n-1}| + \tau^2(F^n - s(y^n))}{m + b|y^n - y^{n-1}|}. \quad (20)$$

## Начальные условия для квадратичного затухания

Для  $t = 0$  имеем  $u'(0)|u'(0)| = bV|V|$ . Используя это выражение в уравнении и значение  $u(0) = U$  при  $t = 0$ , получим

$$my_{tt}^1 + bV|V| + s(U) = F^0.$$

Отсюда

$$y^1 = y^0 + \tau V + \frac{\tau^2}{2m}(F^0 - mV|V| - s(U)). \quad (21)$$

- ❶  $y^0 = U$ ;
- ❷ вычисляем  $y^1$  (формула зависит от линейного/квадратичного затухания)
- ❸ для  $n = 1, 2, \dots, N - 1$ :
  - ❶ вычисляем  $y^{n+1}$  (формула зависит от линейного/квадратичного затухания)

# Программная реализация

```
def solver(U, V, m, b, s, F, tau, T, damping='linear'):
    """
    |T2A\CYRR |T2A\cyre |T2A\cyrsh |T2A\cyra |T2A\cyre |T2A\cyrt |T2A\
    u(0)=U |T2A\cyri u'(0)=V,
    |T2A\cyrk |T2A\cyro |T2A\cyrn |T2A\cyre |T2A\cyrch |T2A\cyrn |T2A\
    |T2A\CYRE |T2A\cyrs |T2A\cyrl |T2A\cyri |T2A\cyrz |T2A\cyra |T2A\
    |T2A\cyrt |T2A\cyro f(u')=b*u'*abs(u').
    F(t) |T2A\cyri s(u) --- |T2A\cyrf |T2A\cyru |T2A\cyrn |T2A\cyrk |
    """
    tau = float(tau); b = float(b); m = float(m) # avoid integer div.
    N = int(round(T/tau))
    u = np.zeros(N+1)
    t = np.linspace(0, N*tau, N+1)

    u[0] = U
    if damping == 'linear':
        u[1] = u[0] + tau*V + tau**2/(2*m)*(-b*V - s(u[0]) + F(t[0]))
    elif damping == 'quadratic':
        u[1] = u[0] + tau*V + \
            tau**2/(2*m)*(-b*V*abs(V) - s(u[0]) + F(t[0]))

    for n in range(1, N):
        if damping == 'linear':
            u[n+1] = (2*m*u[n] + (b*tau/2 - m)*u[n-1] +
                    tau**2*(F(t[n]) - s(u[n])))/(m + b*tau/2)
        elif damping == 'quadratic':
            u[n+1] = (2*m*u[n] - m*u[n-1] + b*u[n]*abs(u[n] - u[n-1])
```

# Верификация реализации алгоритма

- Постоянное решение  $u_e(t) = U$  ( $V = 0$ ) удовлетворяет дифференциальной и дискретной задаче. Идеально для отладки!
- Линейная функция  $u_e(t) = ct + d$  дифференциальной и дискретной задаче.
- Функция  $u_e(t) = bt^2 + Vt + U$  удовлетворяет дифференциальной задаче и дискретной задаче с линейным затуханием, но не с квадратичным. Специальный вид дискретной правой части может допускать  $u_e$  как решение дискретной задачи с квадратичным затуханием.

# Демонстрационная программа

Сценарий `vib.py` допускает вызов с параметрами командной строки:

```
Terminal> python vib.py --s 'sin(u)' --F '3*cos(4*t)' --b 0.03 --T 60
```

